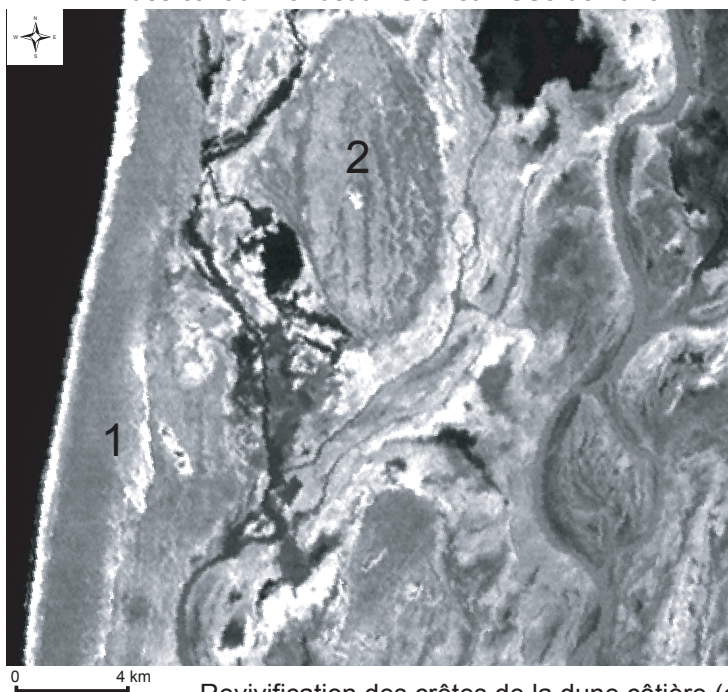
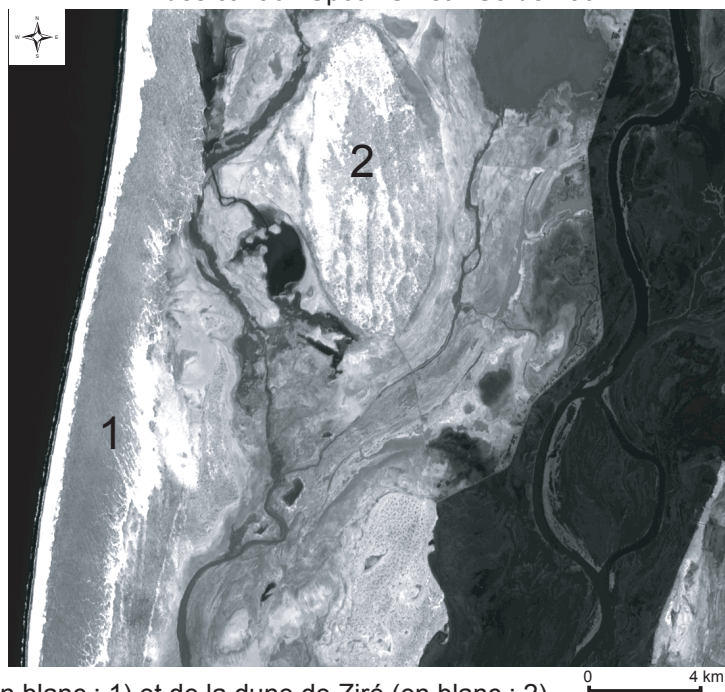


Figure 2

a- Indice de minéralisation ($R^2 + PIR^2$)
des canaux Landsat MSS2 et MSS3 de 1979



b- Indice de minéralisation ($R^2 + PIR^2$)
des canaux Spot XS2 et XS3 de 1992



Revivification des crêtes de la dune côtière (en blanc : 1) et de la dune de Ziré (en blanc : 2)